

# Необычный фонтан и гравитомагнетизм

## Оглавление

1. Введение
  2. Основная математическая модель
  3. Вычислительный алгоритм
  4. Потoki энергии в необычном фонтане
  5. Расчет формы струи
  6. Выводы
- Литература

## Аннотация

Рассматривается необычный подводный фонтан [1]. Строится его математическая модель и показывается, что его форма может быть объяснена существованием значительных по величине гравитомагнитных сил (аналогичных силам Лоренца) и потока гравитомагнитной энергии (аналогичного потоку электромагнитной энергии).

## 1. Введение

В Англии установлен необычный фонтан [1], который представляет собой водоворот в прозрачном цилиндре - фонтан-водоворот "Харибда" – см. рис. 1. Есть публикация [2] и о другом искусственном водовороте, менее впечатляющем, но конструктивно более прозрачном. На рис 2 показан этот водоворот в стакане и его конструкция. Можно указать и на природное явление, напоминающее необычный фонтан [3] – см. рис. 3.

Насколько известно автору, такие конструкции и явления не имеют строгого математического описания. Ранее автор предложил математическую модель потока воды в воронку и из трубы [4]. При этом использовались уравнения гравитомагнетизма – уравнения, подобные уравнениям Максвелла для электродинамики - максвеллоподобные уравнения гравитации (далее – МПГ-уравнения). Взаимодействие между движущимися массами воды описывалось гравитомагнитными силами Лоренца (далее ГЛ-силы), аналогичными силам Лоренца в электродинамике [5]. Дальнейшие

рассуждения аналогичны приведенным в [4]. Однако есть принципиальное отличие струи, вытекающей под напором из трубы, и струи, поднимающейся в необычном фонтане. В первом случае струя воды расширяется и плотность струи меняется. Во втором случае плотность струи равна плотности окружающей воды, т.к. вода – несжимаемая жидкость. Поэтому форма струи в фонтане должна быть объяснена иначе, чем объяснена форма струи в [4]. Этому ниже уделено основное внимание.

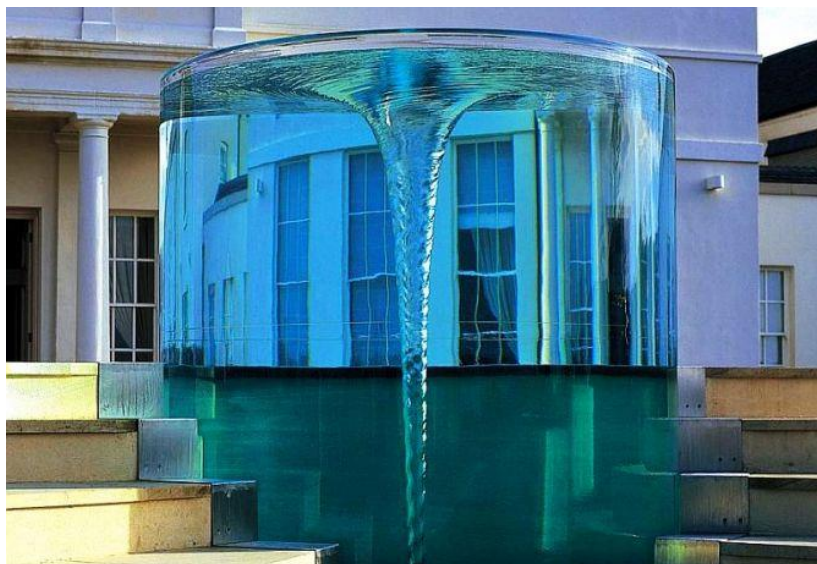
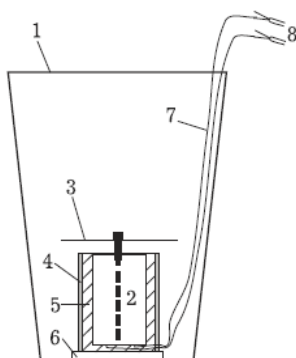


Рис. 1.



- 1 – стакан
- 2 – микроэлектродвигатель
- 3 – жестяной диск
- 4 – пластиковый тубус
- 5 – силикон
- 6 – холодная сварка
- 7 – провода
- 8 – клеммы

Рис. 2.



Рис. 3.

## 2. Основная математическая модель

МПП-уравнения для гравитомагнитных напряженностей  $H$  и плотностей массовых токов  $J$  в стационарном гравитомагнитном поле имеют вид:

$$\operatorname{div}(H) = 0, \quad (1)$$

$$\operatorname{rot}(H) = J, \quad (2)$$

При моделировании водоворота будем использовать цилиндрические координаты  $r, \varphi, z$ . Тогда МПП-уравнения примут вид:

$$\frac{H_r}{r} + \frac{\partial H_r}{\partial r} + \frac{1}{r} \cdot \frac{\partial H_\varphi}{\partial \varphi} + \frac{\partial H_z}{\partial z} = 0, \quad (3)$$

$$\frac{1}{r} \cdot \frac{\partial H_z}{\partial \varphi} - \frac{\partial H_\varphi}{\partial z} = J_r, \quad (4)$$

$$\frac{\partial H_r}{\partial z} - \frac{\partial H_z}{\partial r} = J_\varphi, \quad (5)$$

$$\frac{H_\varphi}{r} + \frac{\partial H_\varphi}{\partial r} - \frac{1}{r} \cdot \frac{\partial H_r}{\partial \varphi} = J_z. \quad (6)$$

Кроме того, токи должны удовлетворять условию непрерывности

$$\operatorname{div}(J) = 0, \quad (7)$$

или, в цилиндрических координатах,

$$\frac{J_r}{r} + \frac{\partial J_r}{\partial r} + \frac{1}{r} \cdot \frac{\partial J_\varphi}{\partial \varphi} = 0. \quad (8)$$

Эти уравнения описывают, в сущности, процессы взаимодействия токов, напряженностей и ГЛ-сил. Последние определяются как

$$F_L = G \cdot \xi \cdot S_o. \quad (9)$$

где  $G$  - гравитационная постоянная,  $\xi$  - гравитомагнитная проницаемость среды [5],

$$S_o = (J \times H). \quad (10)$$

Это векторное произведение в цилиндрических координатах имеет вид:

$$S_o = \begin{bmatrix} S_{or} \\ S_{o\varphi} \\ S_{oz} \end{bmatrix} = \begin{bmatrix} J_\varphi H_z - J_z H_\varphi \\ J_z H_r - J_r H_z \\ J_r H_\varphi - J_\varphi H_r \end{bmatrix} \quad (11)$$

### 3. Вычислительный алгоритм

В [4] показано, что уравнения (2.3-2.6, 2.8) имеют следующий

вид:

$$H_{r.} = \eta \cdot f_8(r) \cdot \exp(\eta \cdot z) \quad (1)$$

$$H_{\varphi.} = \eta \cdot f_2(r) \cdot \exp(\eta \cdot z) \quad (2)$$

$$H_{z.} = f_3(r) \cdot \exp(\eta \cdot z) \quad (3)$$

$$J_{r.} = -\eta^2 f_2(r) \cdot \exp(\eta \cdot z), \quad (4)$$

$$J_{\varphi.} = \eta^2 f_7(r) \cdot \exp(\eta \cdot z), \quad (5)$$

$$J_z = \eta \cdot f_{10}(r) \cdot \exp(\eta \cdot z), \quad (6)$$

где

$$f_8(r) = f_{80}(r) \cdot (1 - X), \quad (7)$$

$$f_7(r) = f_8(r) + \frac{f_8'(r)}{r} + f_8''(r), \quad (7a)$$

$$f_2(r) = q \cdot r(1 - X), \quad (8)$$

$$f_{10}(r) = \frac{f_2(r)}{r}, \quad (9)$$

$$f_3(r) = \frac{f_8(r)}{r} + f_8'(r), \quad (10)$$

$$X(r, R) = 1/(1 + \exp(-2g(r - R))), \quad (11)$$

$h, q, \eta, g$  - некоторые константы.

Возможны различные функции  $f_{80}(z)$ , а от этой функции зависят функции  $f_8(z), f_7(z), f_3(z)$ . Мы рассмотрим простейший случай, когда функция  $f_{80}(z)$  является константой, и тогда

$$f_{80}(z) = h, f_7(r) = f_8(r), f_3(r) = \frac{f_8(r)}{r}. \quad (13)$$

Здесь  $X$  – аппроксимация функции Хевисайда, величина  $g$  характеризует "ширину скачка" при аппроксимации,  $R$  – радиус струи, то значение координаты  $r$ , в которой функция меняет значение с 0 на 1. Функция  $R(z)$  требует определения.

#### 4. Потоки энергии в необычном фонтане

В [6] была описана структура потоков электромагнитной энергии постоянного тока в цилиндрическом проводе с постоянным током. Показано, что плотность потока электромагнитной энергии

$$S = \rho(J \times H). \quad (1)$$

где  $\sigma$  – удельное электросопротивление. По аналогии определим плотность потока гравитомагнитной энергии в водяной струе

$$S = \sigma \cdot (J \times H), \quad (2)$$

где  $\sigma$  – удельное сопротивление массовому току. Следовательно,

$$S = \sigma \cdot S_o, \quad (3)$$

где  $S_o$  определяется по (2.11).

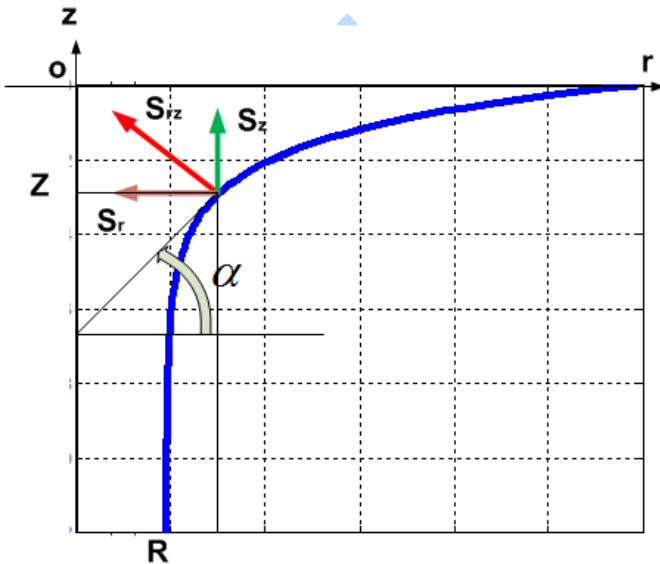


Рис. 4.

На рис. 4 показано вертикальное сечение фонтана в плоскости  $(r, z)$  и граница струи. Поток гравитомагнитной энергии

$$S = \begin{bmatrix} S_r \\ S_\varphi \\ S_z \end{bmatrix} \quad (4)$$

циркулирует внутри струи. На рис. 4 показаны проекции  $S_r$ ,  $S_z$  этого потока и сумма этих проекций  $S_{rz}$ . Проекция  $S_\varphi$  направлена по касательной к окружности струи и на рис. 4 не показана. Возможен случай, когда суммарная проекция  $S_{rz}$  в окрестности границы направлена перпендикулярно границе, а на самой границе струи равна нулю. Если такое условие соблюдается на всех точках границы, то поток гравитомагнитной энергии всегда остается внутри струи.

Рассуждая как в [7], заметим, что интеграл плотности этого потока  $S$  по объему  $V$  струи пропорционален импульсу электромагнитного поля  $P$  в этом объеме, поскольку, как известно, в системе СИ

$$\frac{dP}{dV} = \frac{1}{c^2} S = \frac{1}{c^2} [\overline{E} \times \overline{H}]. \quad (5)$$

В силу закона сохранения импульса струя сохраняет свою целостность, ибо при изменении формы струи изменяется интеграл плотности потока гравитомагнитной энергии.

## 5. Расчет формы струи

Сформулированное выше условие позволяет рассчитать форму струи. По (2.11, 2.1-2.6) найдем:

$$\begin{aligned} S_{or} &= J_\varphi H_z - J_z H_\varphi = \\ &= \eta^2 f_7(r) \cdot \exp(\eta \cdot z) f_3(r) \cdot \exp(\eta \cdot z) - \\ &- \eta \cdot f_{10}(r) \cdot \exp(\eta \cdot z) \eta \cdot f_2(r) \cdot \exp(\eta \cdot z) \end{aligned} \quad (1)$$

$$\begin{aligned} S_{oz} &= J_r H_\varphi - J_\varphi H_r = \\ &= -\eta^2 f_2(r) \cdot \exp(\eta \cdot z) \eta \cdot f_2(r) \cdot \exp(\eta \cdot z) - \\ &- \eta^2 f_7(r) \cdot \exp(\eta \cdot z) \eta \cdot f_8(r) \cdot \exp(\eta \cdot z) \end{aligned} \quad (2)$$

или

$$S_{or} = \eta^2 \exp(2\eta \cdot z) (f_7(r) \cdot f_3(r) - f_{10}(r) \cdot f_2(r)), \quad (3)$$

$$S_{oz} = -\eta^3 \exp(2\eta \cdot z)(f_2(r) \cdot f_2(r) + f_7(r)f_8(r)). \quad (4)$$

Далее учтем (2.7-2.10, 2.13) и получим:

$$S_{or} = -\eta^2 \exp(2\eta \cdot z)(1-X)^2 \left( -\frac{h^2}{r} + q^2 r \right), \quad (5)$$

$$S_{oz} = -\eta^3 \exp(2\eta \cdot z)(1-X)^2 (q^2 r^2 + h^2). \quad (6)$$

Найдем теперь угол  $\alpha$ , показанный на рис. 4:

$$\operatorname{tg}(\alpha) = \frac{S_{oz}}{-S_{or}} = -\eta (q^2 R^2 + h^2) / \left( -\frac{h^2}{R} + q^2 R \right), \quad (7)$$

или

$$\operatorname{tg}(\alpha) = \eta R (q^2 R^2 + h^2) / (h^2 - q^2 R^2), \quad (8)$$

где  $R$  - радиус струи. Обозначим функцию образующей струи как  $z = Q(R)$ . Если угол  $\alpha$  является углом наклона касательной к этой функции, то

$$\operatorname{tg}(\alpha) = \frac{d}{dR} Q(R). \quad (9)$$

Следовательно,

$$Q(R) = \int \eta R (h^2 + q^2 R^2) / (h^2 - q^2 R^2) dR, \quad (10)$$

Интегрируя (10), получаем:

$$Q(R) = -\eta \left( \frac{h^2}{q^2} \ln \left( \frac{h^2}{q^2} - R^2 \right) + \frac{R^2}{2} \right) + Q_0. \quad (11)$$

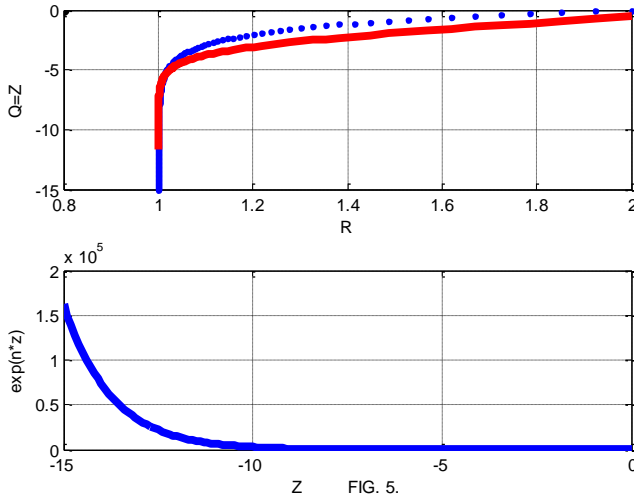


FIG. 5.

---

На рис. 5 в верхнем окне показана функция  $z = Q(R)$  и для сравнения точками показана функция  $z = -\eta \log(R-1)$ . В нижнем окне показана функция  $\exp(\eta \cdot z)$ , входящая в формулы (3.1-3.6).

При этом принято, что  $\frac{h^2}{q^2} = 1$ ,  $\eta = -0.8$ ,  $Q_0 = -3$ .

## 6. ВЫВОДЫ

Сравнивая рис 1 и рис. 5, можно заметить сходство реальной и модельной форм необычного фонтана. Следовательно, можно утверждать, что уравнения гравитомagnetизма подтверждаются экспериментально. При этом подтверждается существование значительных по величине гравитомagnetных сил и потока гравитомagnetной энергии.

## Литература

1. <http://www.mirkrasiv.ru/articles/fontan-vodovorot-haribdacharybdis-sanderlend-velikobritanija.html>
2. Бондаров М.Н., Савичев В.И. Искусственный водоворот и его применение,  
<http://enter-the-ninja.livejournal.com/581189.html>
3. <https://www.youtube.com/watch?v=fmMVGil0sXg>
4. Хмельник С.И. О потоке воды в воронку и из трубы,  
<http://vixra.org/pdf/1506.0201v3.pdf>
5. Хмельник С.И. Еще об экспериментальном уточнении максвеллоподобных уравнений гравитации, «Доклады независимых авторов», изд. «DNA», printed in USA, ISSN 2225-6717, Lulu Inc., ID 14407999, Россия-Израиль, 2014, вып. 25, ISBN 978-1-304-86256-3,  
<http://lib.izdatelstwo.com/Papers/25.62.pdf>, см. также  
<http://vixra.org/pdf/1404.0089v1.pdf>
6. Хмельник С.И. Структура потока электромагнитной энергии в проводе с постоянным током,  
<http://vixra.org/pdf/1504.0061v1.pdf>
7. Хмельник С. И. К вопросу о внутриядерных силах. «Доклады независимых авторов», изд. «DNA», ISSN 2225-6717, Россия – Израиль, 2014, вып. 27, ISBN 978-1-312-19894-4, printed in USA, Lulu Inc., ID 14739921,  
<http://lib.izdatelstwo.com/Papers/27.127.pdf>, см. также  
<http://vixra.org/pdf/1405.0296v2.pdf>